

# 消化系疾病文摘

上海市医学科学技术情报研究站  
消化系疾病文摘編譯委員會

編

1

1965

上海市科学技术編譯館

# 目 录

## 食 管

1. 留置鼻胃管后引起的食管狭窄.....(1)
2. 贲门失弛缓症：一百余例的临床研究.....(1)
3. 具有症状的裂孔疝、食管炎及胃炎的处理.....(2)
4. 食管裂孔疝检查方法的评价.....(2)
5. 1960~1961年世界食管癌的医学统计.....(3)
6. 应用新型静脉吻合器作自体肠段移植的经验.....(3)
7. 食管静脉曲张的X线电影摄影.....(4)

## 胃

8. 分泌素对人体肉汤刺激胃液分泌的抑制作用.....(5)
9. 一种简化的胃肠粘膜活检囊.....(5)
10. 老年人胃粘膜的改变.....(6)
11. 选择性胃粘膜切片对胃良性病变的诊断价值.....(7)
12. 胃癌：1,035例病案复习.....(7)
13. 胃癌患者的胃液游离氨基酸.....(8)
14. 胃癌的早期X线诊断.....(8)
15. 四环素萤光试验在胃癌诊断上的价值：与细胞学检查相比较.....(9)
16. 胃黑色素瘤的X线诊断.....(9)
17. 一种治疗胃出血经济有效的胃降温装置.....(10)
18. 胃冰冻术后的胃酸反跃.....(11)
19. 胃冰冻术后的生理改变.....(11)
20. 胃冰冻术对维生素B<sub>12</sub>的吸收、胃酸分泌、组织形态及血清酶活力的影响.....(12)
21. 胃手术后的胃镜和胃活体组织检查.....(12)
22. 幽门狭窄时的代谢性碱中毒.....(13)

## 溃 疡 病

23. 十二指肠溃疡病的遗传因素  
    胃蛋白酶元浓度与ABO血型  
    ABH物质间的关系.....
24. 儿童十二指肠球部溃疡.....(14)
25. 从切除标本来评价胃溃疡X线诊断的价值：有关胃溃疡的恶性表现.....(14)
26. 上消化道出血.....(15)

27. 上消化道出血的季节发病率.....(16)

28. 半胃切除加迷走神經切断术治疗504例  
    消化性溃疡的分析.....(16)
29. Zollinger-Ellison氏綜合征.....(17)
30. 迷走神經切断术后的脂肪痢及腹泻：  
    引流方法的比較.....(17)
31. 胃内淀粉酶活力与倾泻症候群的关系.....(18)
32. 良性消化性溃疡胃切除术后胃残端癌的  
    临床表现.....(18)

## 肠

33. 美克尔氏憩室引起急腹症的X线表现.....(19)
34. 解剖显微鏡对非热带性口炎性腹泻的診断  
    价值.....(19)
35. 正常人和非热带性口炎性腹泻患者胃肠  
    道粘膜的同族酶譜型.....(20)
36. 原发性脂肪泻的免疫萤光抗体研究.....(20)
37. 非特异性出血性直肠結肠炎(出血性直  
    肠炎与潰瘍性結肠炎)的X线診断.....(21)
38. 急性憩室炎和憩室炎穿孔.....(21)
39. 闭合性腹部伤引起的結肠狭窄.....(21)
40. 左侧結肠的气囊肿病.....(22)
41. 直肠乳头状(絨毛样)腺瘤.....(22)
42. 直肠类癌.....(23)

## 肝 脏 与 胆 道

43. 人体肝靜脈分段血流量的測定.....(24)
44. 体内碘溴酞鈉(BSP)的代謝研究——  
    I. 正常人及肝病患者.....(25)
45. 体内碘溴酞鈉(BSP)的代謝研究——  
    II. 人工发热、乙基去甲睾丸酮及碘香  
    酸所致的影响.....(25)
46. 体内碘溴酞鈉(BSP)的代謝研究——  
    酞鈉的最大胆道輸送量.....(25)  
    I. 診斷中的失誤.....(26)  
    II. 酸和碱性磷酸酶对无黃疸患者  
    的肝胆疾病檢出率的比較.....(26)
49. 传染性肝炎和其他原因所致黃疸中游离  
    胆紅素、单-及双-葡萄糖醛酸甘的測定  
    及其临床意义.....(27)

50. 急性肝炎时小肠活组织检查 ..... (28)
51. 用6-巯嘌呤抑制浆细胞性肝炎 ..... (28)
52. 肝硬变患者中胞浆素元——胞浆素系统活力(纤维蛋白溶解作用)异常: 其原因和后果 ..... (29)
53. 肝硬变中的肾循环: 依据肾静脉插管术的观察 ..... (30)
54. 肝硬变演进过程中水及电解质代谢的研究 ..... (31)
55. 肝硬变时腹水及浮肿自动消退的机制 ..... (31)
56. 腹水外科治疗的预后: 40例侧侧门-腔静脉吻合术的疗效 ..... (32)
57. 柯否氏细胞肉瘤一例报告——附日本以往病例的探讨 ..... (32)
58. 人体肝动脉的意外结扎 ..... (32)
59. 肝脏损伤的外科修复 ..... (33)
60. 肝活体组织检查作为粟粒性结核早期诊断的可靠方法 ..... (34)
61. 经皮肤肝穿刺胆管造影术 ..... (34)
62. X线电影胆管造影在解释“T”形管胆管造影畸形中的作用 ..... (35)
63. 肝外胆管的原发性硬化性胆管炎 ..... (35)
64. 肝外胆管狭窄 ..... (36)
65. 经肝插管的肝管-空肠吻合术: 一种治疗高位肝管狭窄的技术操作 ..... (36)
66. 日本的胆石症——812例分析 ..... (37)
67. 胆囊造影剂 Telepaque 的改进制剂 (Win-8851-2) ..... (38)
68. 胆囊胆固醇结石患者肝脏代谢的进一步研究(肝内乙酰醋酸酯及胆固醇的含量) ..... (38)
69. 胆囊手术后持续的症状 ..... (39)
70. 胆汁性腹膜炎 ..... (39)
- ### 胰 腺
71. 十二指肠内容物逆流在胰腺炎发病原因学中的作用 ..... (40)
72. 外科领域内急性胰腺炎的治疗对策 ..... (40)
73. 土霉素治疗慢性复发性胰腺炎的疗效研究 ..... (41)
74. 产生低血糖与类癌综合征的转移性胰岛细胞瘤 ..... (42)
- ### 实 验 研 究
75. 胃肌电图的研究 ..... (42)
76. 乙酰水杨酸对胃液分泌的作用 ..... (43)
77. 胃大部切除术后剩余部分缺血的临床和实验观察 ..... (44)
78. 实验性胃溃疡 ..... (44)
79. 幽门梗阻引起的实验性胃溃疡 ..... (45)
80. 证明胃肠道各段对发生消化性溃疡的易感性确有差异的新证据 ..... (45)
81. 胃冰冻术对犬 Heidenhain 氏小胃的影响 ..... (46)
82. 十二指肠的内在性收缩活动 ..... (46)
83. 经腹腔全迷走神经切断后小肠功能及结构的实验观察 ..... (47)
84. 中链甘油三酸酯肠内吸收和粘膜内脂肪溶解的研究 ..... (47)
85. 肠道在铁动力学中的作用 ..... (48)
86. 胃肠道内五羟色胺的分布: 肠梗阻及肠切除对血清五羟色胺的影响 ..... (48)
87. 狭窄性肠梗阻的早期诊断 ..... (49)
88. 用离体鼠肝灌注法研究乙醇对 C<sup>14</sup>-棕榈酸盐代谢的作用 ..... (49)
89. 实验性急性肝脂肪变性的亚微结构变化 ..... (50)
90. 实验性腹水: VI. 肝静脉流出受阻和腹水对醛固酮分泌的影响 ..... (50)
91. 肝硬变腹水时肝脏对钠和水的调节 ..... (51)
92. 硫酸鱼精蛋白治疗肝性昏迷的研究 ..... (51)
93. 垂体激素与 N-OH-N-2 FAA 的致肝癌作用 ..... (52)
94. 经肝动脉和门静脉滴注的肝脏化学疗法 ..... (52)
95. 静脉注射放射性同位素预防肝脏转移性肿瘤 ..... (53)
96. 肝脏输入血管的阻断 ..... (53)
97. 门-腔静脉分流术后胰腺功能的研究 ..... (54)
98. 肝胆管小根灌注胰酶的研究 ..... (54)
99. 胰酶在急性胰腺炎发病中的作用: III. 狗胰管内注射胆汁和胰蛋白酶所引起的胰腺病理和生化改变的比较 ..... (55)
100. Trasylol 防治实验性急性胰腺炎的价值 ..... (56)
101. 胰蛋白酶抑制剂对狗实验性出血性胰腺炎的效用 ..... (56)
- ### 其 他
102. 胃肠道的子宫内膜异位症 ..... (57)
103. 腹膜穿刺活组织检查 ..... (58)

# 食 管

## 1. 留置鼻胃管后引起的食管狭窄

Hussain, R.

《Brit J Surg》1964, 51 (7): 525~527 (英文)

作者报道两例腹部疾患伴有裂孔疝患者，在放置鼻胃管后引起食管狭窄，并就其发病因素作了探讨。

发病因素：(1)呕吐：本文2例呕吐均较剧，但呕吐是否可使食管粘膜更易为胃管所损伤，各家意见不一。(2)留置胃管的期限：其与食管炎和狭窄的关系甚小，有留置24小时即引起食管炎者，亦有放置数周或数月而不发生食管炎者。(3)一般健康状况：一般健康状况与食管炎和狭窄有一定关系。患者常系体质衰弱和有不同程度脱水者，缺少复盖食管粘膜的保护性粘液，这不仅使粘膜易受胃管的损伤，且易被含有酸性胃蛋白酶或碱性胰蛋白酶的胃肠液所消化。患者的年龄多在60岁左右，本文中的1例虽仅22岁，但入院后24小时内因早产失血过多，加上肠梗阻所致的呕吐、肠坏死的毒素及广泛肠切除的创伤，都使病人更为衰弱。(4)实验证明酸性胃蛋白酶长期滞留于食管内可导致溃疡性食管炎，而食管下端括约肌的收缩、食管斜行进入胃内和吸气时膈肌的关闭机制，均可防止胃内容物经常溢入食管。因此，任何使食管下段括约肌功能发生障碍的因素，均可使胃蛋白酶或胰蛋白酶流入食管。(5)裂孔疝由于破坏了胃食管连接部括约肌的完整性，可有食管反流。当患有裂孔疝时，放置胃管更会增加食管反流，从而导致食管炎和狭窄。本文2例即均有裂孔疝。

作者最后指出：斜倚体位或屈氏位能增加食管反流的倾向，因而当病人一般情况差、肌肉张力低下，特别是有脱水时，放置胃管应避免斜倚体位。

(余业勤摘 孟承伟校)

## 2. 贲门失弛缓症：一百余例的临床研究

Barrett, N. R.

《Brit Med J》1964, 1 (5391): 1135~

1140 (英文)

Adams氏等认为贲门失弛缓有四类主要改变：(1)贲门不能松弛；(2)食管正常蠕动消失而代以节

段性间歇性收缩；(3)贲门以上食管扩张与肥厚；(4)食管对胆盐能药物的敏感性增高。并认为此类改变是由于Meissner与Auerbach神經丛中神經节細胞的原因不明的变性或缺乏所致。

本文根据122例的临床和X线研究材料对贲门失弛缓症进行探讨，其中70例有数年来一系列的X线检查材料，另一些病例有手术及术后短期随访资料，各例均无其他神經病变，手术证实者均仅于食管下端有环形肌肉增厚而无周围炎症等。本症可发生于任何年龄，自4岁～84岁，但以25～60岁者最多，50岁以下以男性为多，50岁以上则以女性为多。

本病起病隐匿，症状各异，但约2/3的病人有吞咽困难、吞咽时阻塞感、食物与唾液反流、呕吐、心前区疼痛、饥饿感等，但亦有无吞咽困难者。也有表现为长期消化不良，或自幼即有间歇性原因不明的呕吐，亦有于受惊后突然出现症状者。

病程不定，但可长达20～50年，主要取决于病变的程度与有否并发症。多数病程呈间歇性，有时全无症状，有时无故发作。Adams氏将本病症状分为联续的进行性的三个阶段：I阶段，显著的疼痛性吞食困难，反胃，消瘦，X线呈食管缩小而其运动尚好，如黄瓜样。II阶段（代偿阶段），病人自觉改善，食欲与体重稍进步，偶有反胃，然X线检查食管渐增大。III阶段（失代偿阶段），呈巨大食管改变，病人可因营养不足或其他食管潴留并发症如癌或通气不足等而死亡。但本文作者认为病程并非一定如此，而巨大食管与黄瓜样食管可能系贲门失弛缓症的二种不同类型。

病理改变为食管肌层肥厚，可数倍于正常，狭窄部环状肌肥大。有食管扩大、食物及唾液等的积滞，但不一定引起食管粘膜炎或纵隔淋巴腺炎等，但有时可成为长期发热的原因。本症的肿瘤发病率较高，恶性肿瘤常发生在扩张部，狭窄部则不发生，Adams氏报告在死亡病例中29%因食管癌所致，本文至少已有7例死于此并发症。因病人头低卧位时少量食管内容物流入气管，可发生各种肺部并发症如各种局灶性肺炎、脓肿等。

在X线检查时，本病有二特点：(1)因食管无蠕动，故在头低位时病人不能吞咽。(2)并无正常的胃底部气泡。在X线上，有时小弯或贲门部胃癌可以

造成黃瓜样食管，而誤診為賁門失弛緩症。此外迷走神經切斷术或胃部份切除术后(伴迷走神經切斷)食管下端暫時性的生理性梗阻，其X線表現亦與本病相似。若干巨大食管病人其第一次X線診斷可誤診為下纵隔肿瘤、纵隔肿瘤、膈疝、奇叶肺等。

治疗：对有相当积滞与发热者須以清洗治疗之，用食管鏡來清洗食管比胃管或虹吸法为有效。Heller氏手术对年紀輕、病程短的黃瓜样食管者疗效佳，但对巨大食管者則疗效不佳。手术不能解除基本神經缺損，不能使食管恢复正常。手术时应注意三点：(1)肌层切开必須包括上自食管扩张部，下至胃部；(2)切开段內全部环状肌；(3)手术后有产生賁門无力、反流与食管炎的可能，但本組病例中此种并发症罕见。如无膈疝，无需将食管裂孔縫小。用水力扩张器可使食管狭窄段的环状肌断裂而解除症状，但其安全性頗可慮，虽有人报告約2/3病人用此法有效，但其复发率較 Heller 氏手术既早且高。对巨大食管者，仍可先行 Heller 氏手术，如失敗，可試用食管-空肠-胃吻合术，本組有4例經此手术治疗而效果良好。

由于病例數字不大，且在分类中标准未必一致，故远期效果不明，但本組病例經 Heller 氏手术治疗的結果，在隨訪中显出对病程短而为黃瓜样食管者結果良好，而对巨大食管、病程长者則差。

(严庆惠摘 张国治校)

### 3. 具有症状的裂孔疝、食管炎及胃炎的处理

Mensh, M.

《Amer J Med Sci》1964, 247 (6): 669~  
674 (英文)

裂孔疝、食管炎及胃炎均可引起严重的上腹部及胸骨后灼热与疼痛。已往沿用的治疗方法如飲食管制、抗酸剂及抗乙酰胆硷药物等均未能获得满意的疗效。本文报告应用Oxethazaine(一种化学結構酷似利多卡因的甘氨酸胱胺，即使在pH 1时亦具有显著的鎮痛作用)对上述病例进行治疗的結果。

治疗及观察在严格双盲法下进行。患者共分为三組：(1)第一組：共14例，包括10例裂孔疝合并食管炎及4例胃炎。該組患者均服用氢氧化鋁及氢氧化鎂混合液以作为对照。(2)第二組：共21例，包括16例裂孔疝合并食管炎及5例幽门竇炎。所有病例均服用含有Oxethazaine的氢氧化鋁与氢氧化鎂混合液。(3)第三組：共8例，包括6例裂孔疝

合并食管炎及2例胃炎。所有病例均交替服用对照剂及含有Oxethazaine的混合液。

治疗結果：(1)第一組：經治疗三周后，2例症状消失，9例輕度減輕，3例无效。(2)第二組：在相同时間內，12例症状消失，但其中3例在停药后疼痛又复出现，6例中度減輕，2例輕度減輕，1例无效。(3)第三組：在11次服用对照剂时，5次症状輕度改善，6次无效。在11次服用Oxethazaine时，6次症状中度改善，5次消失。

根据上述观察以及統計学比較的結果，作者认为 Oxethazaine 对裂孔疝、食管炎及胃炎的治疗較沿用的硷性药物有更好的疗效。

(丁怀翌摘 唐振鐸校)

### 4. 食管裂孔疝检查方法的評价

Sim, G. P. G.

《Brit J Radiol》1964, 37 (442): 781~  
787 (英文)

本文旨在对某些目前使用的裂孔疝X線检查方法作一評价，并在应用一套检查方法后，分析裂孔疝在这些方法中的显示率。

作者所用的一套检查方法为：(1)检查粘膜后，立位口服4喃稀薄銀餐，观察食管下段的通过情况。(2)嘱患者弯腰，以手触足趾。(3)检查胃和十二指肠完毕后，取仰臥位，另服銀餐6喃，观察下段食管，直至其排空。(4)仰臥位直腿高举(少数患者因过分衰弱而不能作此动作者則代以抬头)。(5)使患者取俯臥斜位，左侧抬高。(6)俯臥位腹部加压(令患者俯臥，置一对褶的枕头于腹下，其肩部靠在枕上，头轉向左侧，两臂置于两侧，若疝显示不明确，可略轉动患者)。由于头低位仰臥和用手压迫腹部二种方法不能增加疝的显示率，并因操作困难和費时，故不包括在本程序內。

作者将食管裂孔疝分为4型：(1)滑动性疝；(2)滚动性疝(食管旁型)；(3)混合性疝(即上述二者的混合)；(4)嵌頓性疝(即不可回复性疝)。后三型的表现較为明确，診断滑动性疝时必須具有下列二条件：(1)在其上緣有一明确的环状分界；(2)伴有連續或間断的反流。作者在1年半的時間內用上述方法检查过909名患者，发现裂孔疝100例(10.9%)，其中滑动性疝占83例。各种位置显示疝的次数为：立位8次，触趾31次，直腿高举16次，抬头3次，仰臥位吞銀26次，俯臥斜位23次，俯臥腹部加压99次。

俯臥位腹部加压显示裂孔疝較之其他方法有效。在放枕头于腹下之前，食管内应无钡餐，在此期间不再服钡餐，以利于观察反流。必要时可嘱患者略向斜側，使胃底的钡餐与贲门接触，以避免疝内无钡餐。俯臥位腹部加压法检查迅速，且易在每一患者中沿用。应用此法未能显示的唯一病例，为俯臥斜位所显示。立位吞钡除能指出嵌顿性疝外，无甚用处。触趾显示的 31 例均为俯臥位腹部加压所显示。仰臥位吞钡虽然理想，但对疝与膈疝的鉴别以及估价反流均較俯臥位检查困难。因此作者认为俯臥斜位和俯臥位腹部加压以外的方法不必列为常规。

(陈星荣摘 荣独山校)

## 5. 1960~1961 年世界食管癌的医学統計

瀬木 三雄 奈良井 容子

伊藤 希子和新倉茂

《診斷と治療》1964, 52(8): 1435~1438 (日文)

作者就 22 个国家级中央统计局直接提供的資料算出其食管癌的校正死亡率(每 10 万人口)。

一、1960~1961 年各国的校正死亡率：按其多少的順序，男性在法国、瑞士、智利、美国有色人和日本較高，加拿大、丹麦、瑞典較低，最高 12.49 (法国)，最低 2.60 (瑞典)。女性在芬兰、智利最高，爱尔兰、英国和日本次之，意大利、美国白人和挪威較低，最高 5.1 (芬兰)，最低 0.69 (挪威)。男性比女性高，女性高低差距較男性为大，且由于男女的順序在国际間有明显的差异，可以想象到各国的男女死亡率比值差距很大。如法国男性比女性高 11 倍，而芬兰只高 1.31 倍。因此考慮食管癌的原因与性别有一定关系。再結合食管癌与口腔、咽喉、喉头癌的死亡率来看，男性均以法国为最高，从地理病理学角度來考虑，这是值得注意的問題，应視為探討原因的途径之一。

二、1950 年以来的趋向。将 1950~1951 年的死亡率作为 100 来計算 1960~1961 年的死亡率指數。在智利、美国有色人等中虽略趋上升，但大多数国家中均趋向减少，女性呈减少趋向的国家更多。一般认为，在两性均能生癌的部位，其死亡率增減的速度，常以女性的改变为先导，因而可以預測，未来男性的死亡率也将追随女性，在更多的国家中趋向下降。

(林梦日摘 叶秀端校)

## 6. 应用新型靜脈吻合器作自體 腸段移植的經驗

Kakayama, K., Yamamoto, K., Tamiya, T.,  
Makino, H., Odaka, M., Ohwada, M.  
和 Takahashi, H.

《Surgery》1964, 55 (6): 796~802 (英文)

作者报道以游离肠段代替頸段食管的临床經驗，并介紹一种新型靜脈吻合器。

手术方法：頸段食管癌作一期手术，切除癌肿食管，移植肠段并作永久性气管造口术。腐蝕性食管狭窄，则分三期手术：第一期作頸部高位食管造口，內放置粗硅橡胶管以使瘻口敞开，同时另作胃造口术。第二期时切除頸段狭窄食管，縫閉胸段食管，将移植肠段的上端与食管近端吻合，移植肠下段則經胸骨前的皮下穿出，并保持下端开放。第三期(1~2 月后)时将移植肠段的下端吻合于 Beck-Jianu 型胃管或与提至胸骨前皮下的肠襻相吻合。

血管及移植肠段的选择：作者最常选用的动脉为左肩胛下动脉(平均直径为 3 毫米以上)。肠段則多选用乙状結肠，因其系膜血管口径亦为 3~4 毫米，但有时需选用回盲部肠段；小肠則因其系膜血管較細且对缺氧的耐受力較差而不适于移植。

技术操作：部分切除鎖骨有利于血管的游离和吻合。肠管端-側吻合的吻合口血液循环較端-端吻合者为佳。游离待植的肠段經短時間(30~90 分钟)存放于室温內，可以解除血管痙攣，有利于动脉吻合后的血流畅通，从而降低血栓形成的发生率。吻合时首先应作动脉的吻合，使血流在靜脈吻合前能将微小血栓冲出。每一吻合箇釘处的血管內膜必須完全外翻，以避免吻合口张力过度或扭曲；局部吻合口則用肝素溶液冲洗，固定頸部及上肢可減少吻合口血栓形成。肠吻合口宜远离血管吻合口。肠道严密的抗菌素准备以及存放時間內保持无菌消毒等措施为避免血栓形成和保証移植成功的关键。一般宜作順蠕动肠管吻合。术后 2 周开始飲食。

移植后的肠段：移植的肠段在 1~2 周內分泌高粘度的粘液，足以阻塞肠腔。逆蠕动肠段的功能性阻塞需經 1~2 月后才能解除。

靜脈吻合器：其原理是：将拟作吻合的靜脈一端外翻在一付金属平板上，然后将另一靜脈端套上，再用吻合鉗将二靜脈端用箇釘縫住。图 1 所示的平板系由不銹鋼片制成，闊度有 3.5 和 5 毫米两种。每板于相对面上有金属針二枚供暫時固定外翻和套入

静脉之用。于平板的近端設有一排凹沟，为吻合鉗釘的屈曲支架。一俟静脉二端固定于一付金属平板上后，用特制的吻合鉗将一排鉗釘縫合血管。吻合鉗上有二个类同的“鉗槽”，内装一排鉗釘，于放在待吻合静脉端的平板凹沟处后，加压鉗夹，即可完成吻合。

結果：21例中11例为癌肿，10例为腐蚀性狭窄；16例移植成功。初期17例系用聚四氟乙烯管按 Blakemore 氏法作静脉吻合，有5例失败；后期4例采用上述静脉吻合器，均获成功。作者认为静脉吻合的成敗是肠道移植成功与否的关键。

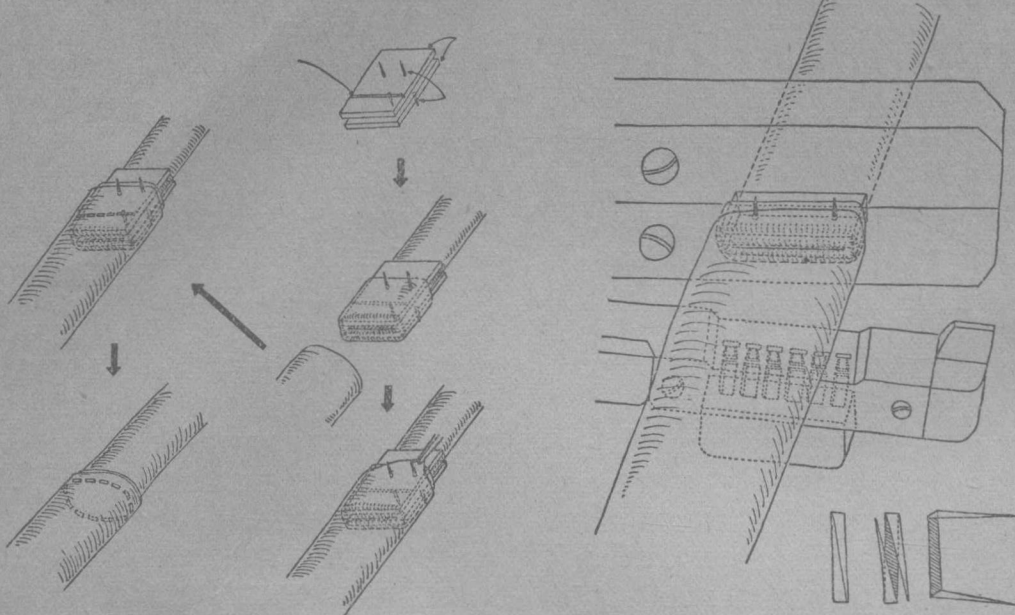


图1 静脉吻合器(简图)。图右示静脉吻合的各个结构，图左示静脉吻合时的各个步骤，右下方示鉗釘在加压时的弯曲情况。

(宋祥明摘 傅培彬校)

## 7. 食管静脉曲张的X线电影摄影

Adler, D. C., Haverback, B. J.,  
和 Meyers, H. I.

《J A M A》1964, 189 (2): 77~80(英文)

1931年Schatzki氏描述了食管静脉曲张的典型X线表现：当钡剂充盈远端1/3食管时，有小结节状的充盈缺损和粘膜皱襞的增宽和扭曲。但食管静脉曲张的大小可随时变更，还可以时而出现，时而消失，出现的时间也可能短暂，因此一般摄片不易将它记录下来。随着点片装置的进展，这些在萤光透视下的发现被记录的机会增多。然而有时即使拍摄多张点片仍可能失去显示食管静脉曲张的适当时机。此外，不少作者还注意到食管静脉曲张时的动力改变，而这些在点片上是难以显示的。X线电影摄影则能系统地连续地记录食管在吞咽时发生动力变化，并能保证显示一些短暂出现的现象。

作者应用22厘米直径视野的影像增强器，对76例患者进行了食管X线电影摄影。这些患者大多数有肝硬变和临幊上疑有食管静脉曲张。全部患者均

经食管镜检查作对照。作者认为X线检查时作 Val-salva 試驗显示食管静脉曲张较单纯作呼吸动作为佳。食管静脉曲张的主要诊断标准为结节状充盈缺损和粘膜皱襞的增宽与纡曲。76例中67例显示有静脉曲张，其中约2/3的病例伴有动力变化，即食管舒张和蠕动减弱或消失。作者估计静脉曲张的大小，将其分为三度。第一度：食管静脉曲张轻微，阳性发现的时间很短暂，占19例，其中4例伴动力变化。第二度：静脉曲张中等大小，阳性发现的时间较长，占24例，其中8例伴有动力变化。第三度：静脉曲张巨大，占24例，全有动力变化。可见动力变化的程度和静脉曲张的大小之间有直接关系，因此作者认为在肝硬变的患者见到食管扩张和缺乏蠕动时，提示有食管静脉曲张的可能性。

X线电影摄影所见与食管镜发现对照，无论有无食管静脉曲张，85%相符合，15%不符合的几乎均为第一度静脉曲张的病例。但当食管镜与电影摄影均为阳性时，其所见到的静脉曲张的大小并不一致。76例中3例由于技术因素，X线电影摄影未能作出結論。

(徐季廣摘 蔡独山校)

# 胃

## 8. 分泌素对人体肉汤刺激胃液分泌的抑制作用

Kamionkowski, M., Grossman, S. 和  
Fleshler, B.

《Gut》1964, 3 (5): 237~240 (英文)

盐酸进入十二指肠与其粘膜接触后能抑制胃酸分泌，但其作用机制是通过内在神经通路抑制系通过体液因子的释放则尚有争论。盐酸的抑制作用必须在十二指肠液 pH 值低至 2.5 以下时才发生，此时能强力刺激分泌素的分泌。分泌素对胃酸分泌的抑制作用已在动物实验中反复被证实。本研究观察分泌素对人体内胃液分泌的作用。

对 10 例内科住院病人（除一例有已愈合的胃窦部溃疡外，余均无胃肠道疾患），禁食 12 小时后插入一根胃十二指肠双腔管（使胃液与十二指肠液能分别取出）。先抽取空腹胃液，然后分为两组，一组在肉汤滴入胃内的同时作分泌素静脉滴注，抽取胃液作分析，继之给肉汤胃内滴入和同时盐水静脉滴注，再抽取胃液作分析；另一组则取相反程序。试验时所抽出的十二指肠液均弃去。结果（附表）示分泌素注射后至少有 30 分钟能显著地抑制肉汤刺激胃液分泌的作用，主要是抑制胃酸浓度和胃酸分泌量，与用生理盐水时的差异有统计学意义。用不同药厂生产的两种分泌素制剂所得结果相同。

[附表]

平均数	分泌素	生理盐水	P 值
游离酸浓度 (毫克当量/升)	1.26	35.8	<0.01
总酸浓度 (毫克当量/升)	21.7	46.9	<0.01
容量 (毫升/60分钟)	68.8	98.4	>0.1
总游离酸的排出 (毫克当量)	0.84	2.99	<0.05
总酸的排出 (毫克当量)	1.80	5.20	<0.01

讨论：静脉滴注分泌素能抑制肉汤刺激对胃液和胃酸的分泌，与过去的动物实验相符。胃酸的降低并非因胰液反流的中和作用，因胃液和十二指肠液是分开吸出的，且胃液分泌量和结合酸浓度（可用以测定胰液的反流，Roveland, 1963.）在用分泌素

时绝大多数较用盐水时为低。本实验采用了两种分泌素制剂，结果相同，可肯定为分泌素本身的作用，而非其杂质。本研究和过去的狗实验均支持这样的假设，即盐酸进入十二指肠后抑制胃液的分泌，是通过一种体液机制，即体内分泌素的释放。

（江石湖摘 江绍基校）

## 9. 一种简化的胃肠粘膜活检囊

Carey, Jr, J. B.

《Gastroenterology》1964, 46 (5):

550~557 (英文)

自 1949 年 Wood 氏等介绍胃粘膜活检管以来，胃肠粘膜吸引活检管已普遍用于诊断和研究。本文介绍一种简化的吸引活检管，可自胃至回肠的任何一点获得多个活检粘膜标本。活检囊包含二个同心的不锈钢壳（形似半个贮药的胶囊），接于细塑料管上，管的另一端装有 100 毫升注射器，用作吸引。当囊开启时，两个钢壳上的边缘锐利的活检孔相互重叠；吸引时，一小段粘膜被吸入孔中，囊被密封，继续吸引时，囊的两个钢壳即相互嵌入而关闭，切下粘膜（如图）。囊的另一端接于含有 2 毫升水银的橡皮袋，使囊容易通过幽门。囊内装有低张力弹簧使囊维持在开启位置。活检囊用 17-4 P.H. 不锈钢制成。囊的外径为 8 毫米，关闭时长 2.1 厘米，开启时长 2.6 厘米，活检孔面积为  $5.4 \times 4$  平方毫米。用 190 号聚乙烯管连接注射器和囊的吸引端，用 20 号管连接囊的盲端和水银袋。弹簧用 302 号不锈钢弹簧丝制成，直径 0.25 毫米。

患者隔夜禁食，早晨吞咽囊管。多数病人能坐着顺利吞咽囊头和水银袋，进入 40 厘米时，令患者向左侧卧数分钟，以保证囊头通过食管贲门交接处且沿胃大弯前进；再向右侧卧，腹部稍垫高，囊头常在 10~20 分钟内通过幽门，此时塑料管已进入 60 厘米；以后可令患者坐起，每 15~20 分钟向左右摆动一次，或起立走动；饮热水少量常能加速囊头前进。当达需要的距离时，接上含水 20~30 毫升的 100 毫升注射器，注入液体冲洗肠内容物后立即用力吸引，维持吸力数秒钟。需采取多个活体标本时，放松吸引，将管拉出少许，再次吸引，即可再次摘取活检标本。活检结束后，徐徐拉出囊头。取下囊头

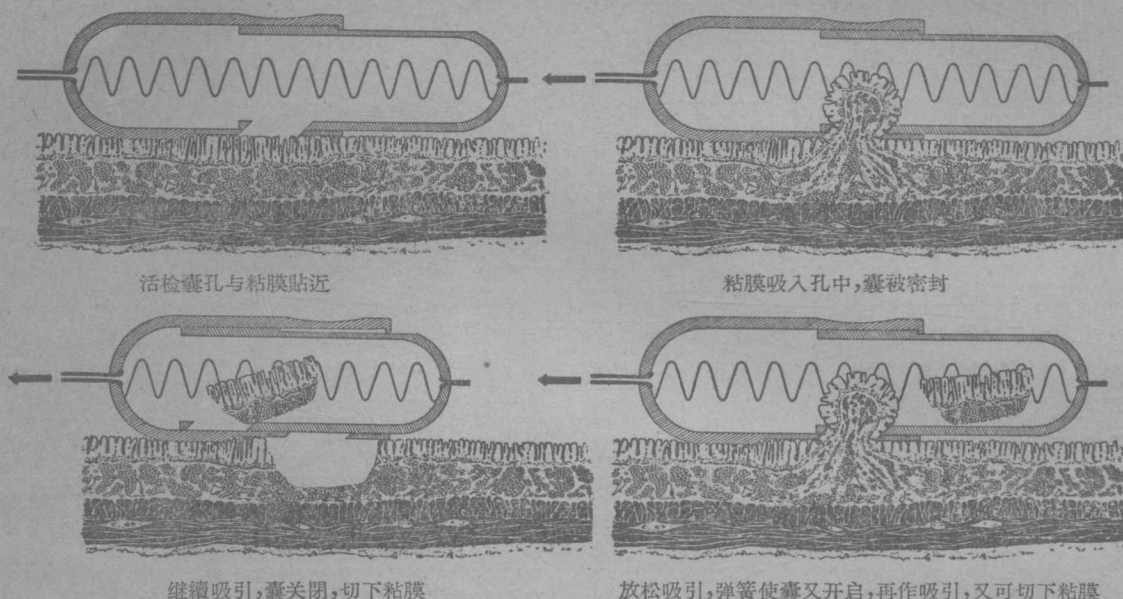
稍作旋转，相互拉开，囊的二个钢壳即分离。粘膜碎片常附着于弹簧上，可用针尖挑下，放在一小方块凝胶泡沫(gel foam)上以防卷曲，绒毛向上，立即将标本浸入甲醛固定液中，用放大镜或解剖显微镜观察绒毛的巨大变化。从1959年以来，已用本法获取350多个活检标本，未发生出血、穿孔或腹痛等并发症。

目前至少有10种有效的小肠吸引活检器，但作者认为本文介绍的囊头设计简单，减少了保养、清

洗、替换部件及操作等的时间。本法不需荧光透视，因此任何医师能在门诊或床旁进行操作。囊头及塑料管借水银袋的拉力而进入胃、幽门和小肠，因此不致发生缠结，且在任何时候能决定囊头的位置。除活检囊本身外，所有其他部件可由医院供应解决。

用解剖显微镜察看浸入固定液中的标本，如有无绒毛尖端、叶形、起皱、盘曲等表现，有助于组织切片的正确判断。用本法获取的标本较厚，常包括肌层，这对认识标本的方位和病理诊断是有利的。

活检囊获取标本的图解



(馮耀庭摘 朱无难校)

## 10. 老年人胃粘膜的改变

Cornet, A., Pagniez, G., Guerre, J. 和 Delavière, Ph.

《Arch Mal Appar Dig》1964, 53 (4):  
365~376 (法文)

作者应用负压吸引切片管对100名65~93岁的老年人进行胃粘膜切片，以研究其病理变化。由于在高龄者不易找到绝对健康的对象，因此部分受检者尚有慢性疾病，包括(1)牙齿脱落，咀嚼功能障碍，60例。(2)消化不良，21例。(3)慢性上呼吸道感染，16例。(4)骨质疏松及关节病变，25例。(5)贫血，30例。(6)消瘦，见于所有70岁以上者。

检查结果胃粘膜正常者26例，中等程度变异包括壁细胞稀疏、上皮囊状变性或肠组织变形、腺体分化、间质细胞浸润、水肿及血管扩张等变化共45例，

严重萎缩者29例。上述粘膜改变与下列因素间存在一定关系：(1)年龄愈大，病变的百分率愈高，其程度亦愈严重。在80岁以上的老年人中，仅30%检查结果完全正常。(2)呈消化不良主诉者，多有粘膜变异。15例具有严重消化不良者，粘膜均呈显著萎缩。(3)33例严重消瘦者中，22例具有粘膜改变。(4)在贫血病例中，仅9例粘膜正常。(5)在有关节病变患者中，除1例外，余均呈粘膜变异。

根据上述结果，作者认为在65岁以上的老年人中，胃粘膜呈变异者的百分率很高。这些变异虽一方面与年龄有关，但另一方面亦可能与其他因素如咀嚼功能不良、进食量减少、腹肌松弛及胃下垂、胰毒性分泌物下咽、长期服用药物、动脉硬化及遗传因素等有密切因果关系。  
(唐振鐸摘 沈耕榮校)

编者注：本文研究方法为受试者增加了不必要的痛苦，不足取，但内容尚有参考价值，故仍予刊出。

## 11. 选择性胃粘膜切片对胃良性病变的诊断价值

Debray, C., Housset, P. 和 Martin, E.

《Sem Hôp Paris》1964, 40 (3): 149~153 (法文)

作者对下列胃良性病变，在 Debray 氏改良胃镜窥视下，进行选择性胃粘膜切片。

(1) 胃溃疡：共 35 例，其中 3 例切片失败。在成功的病例中，未遇任何意外如出血、穿孔、疼痛加剧等。切片应在溃疡的边缘采取，而不宜在基底部，因该处小动脉较多，易受损与出血。在切片时，常可见到剧烈胃壁肌肉收缩，这一现象并不具有任何临床及预后的意义。32 例活检的结果：27 例 (77%) 胃炎，2 例 (5%) 正常，3 例 (9%) 组织过小。胃炎多为混合型，同时具有上皮型与混合型的特点，有时亦可伴有硬化或肠组织变形 (métaplasie intestinale) 的病理表现。在溃疡愈合后，该项炎性变化亦可改善或消失。根据上述结果，作者认为选择性切片对溃疡诊断的建立并无帮助，但如找到慢性胃炎的病理证据，则至少在一定程度上可排除溃疡型癌的诊断。

(2) 慢性胃炎：共 14 例。在一般病例，选择性切片并不较盲目法具有更多优点；但在息肉型及巨大皱襞型胃炎，由于后者与胃癌较难鉴别，则选择性切片的意义较大。

(3) 其他：良性肿瘤的 X 线及胃镜诊断一般并不困难，但在某些与胃癌不易鉴别的病例，选择性切片亦有相当价值。此外，选择性切片对诊断手术后残胃的病变以及食管裂孔疝病例中粘膜的病理变化，亦有一定的帮助。 (唐振鐸摘 沈耕荣校)

## 12. 胃癌：1,035 例病案复习

Lumpkin, W. M., Crow, Jr, R. L.,

Hernandez, C. M. 和 Cohn, Jr, I.

《Ann Surg》1964, 159 (6): 919~932 (英文)

为了进一步了解胃癌的死亡原因以及延长 5 年生存率的有关因素，作者复习了所在医院 1948 年至 1962 年的 1,035 例胃癌病案。上述病例均经病理证实，并获得随访。

一、全组病例：(1) 一般统计：男、女之比为 2.6:1。年龄自 20~92 岁不等，平均年龄为 61.5 岁。(2) 手术情况：施行手术者 853 例 (占 82%)。根治性手术计有：食管胃切除 14 例，全胃切除 56 例，根治性胃大部切除 77 例。另 366 例也作了胃大

部切除术，但其中多系姑息性手术。其他尚有单纯姑息性手术如胃-空肠吻合术 104 例 (10%)，剖腹探查及活组织检查 236 例 (23%)。(3) 5 年生存率：至 1962 年年底，生存满 5 年者有 50 例 (其中 21 例已满 10 年)。如以随访达 5 年的 704 例统计，绝对 5 年生存率为 7%，与绝对 10 年生存率 (6.3%) 相差不多。由此可见，能生存满 5 年者很有可能生存至 10 年。(4) 各手术组的生存率：不论根据生命统计图 (按年的生存率) 或平均生存率统计，根治性胃大部切除和远端胃大部切除的效果最好。全胃切除术和食管胃切除术，与活组织检查和剖腹术的效果相同，令人失望。食管胃切除术后无长期生存者；56 例全胃切除后，仅 2 例能长期生存。(5) 病程进展：37% 患者在确诊后二个月内死亡，64% 在半年内死亡，77% 在一年内死亡。可见胃癌的进展是迅速而凶险的。

二、死亡病例：至 1962 年年底已有 952 例死亡，其中 365 例在住院期间死亡。220 例作了尸体解剖，仅取其中资料完整的 216 例进行分析。(1) 一般统计：年龄和性别等分布与全组病例统计相似。(2) 手术情况：115 例 (53%) 曾手术治疗，计根治性手术 29 例，姑息性手术 53 例，诊断性手术 (活检和剖腹者) 23 例，其余 10 例手术未能指明根治或姑息性质。在此 115 例中，70% 患者在术后一月内死亡，90% 在术后一年内死亡。因此，大部分死亡是由于术后并发症所致。101 例 (47%) 未行手术，大多系晚期病例，入院后短期内死亡。(3) 病灶部位：根据 83 个标本的观察，位于幽门前区和胃体部者占 84%，位于贲门部者占 13%。(4) 转移情况：14% 患者无转移，54% 有淋巴转移，55% 侵犯邻近器官，17% 已有远处转移。受累的邻近器官以肝 (55%)、大网膜 (46%) 和胰腺 (30%) 等为最多见。远处转移则多见于腹膜腔、横膈、结肠、小肠和骨盆器官。血液转移至肾上腺也不少见，此点值得注意。(5) 死亡原因：216 例的死亡原因大多为肺栓塞和肺炎，其次为腹膜炎、广泛癌肿转移、出血、肠梗阻和胰腺炎等。

三、生存满 5 年的病例：共 50 例，其中 47 例的资料完整可供分析。(1) 一般统计：平均年龄为 60.6 岁，均系手术切除者。(2) 手术种类：胃大部切除 31 例，根治性胃大部切除 14 例，全胃切除 2 例。其中 4 例同时切除了横结肠。以切除的彻底性而论，其中根治性质 12 例，姑息性质 22 例，性质不明者 13 例。(3) 癌肿的巨大表现：息肉样 32%，溃疡性 66%，硬性癌 2%。(4) 病灶部位：与死亡组不

同，98% 病灶位于幽门、胃窦和体部，未见位于贲门部者。(5)癌肿分級：按 Hoerr 分級法，60% 患者无轉移，36% 有淋巴轉移，4% 已累及邻近器官。脾脏均未被侵犯，可见常规切除脾脏并非必要。

通过上述分析，作者着重提出：(1)根治性胃大部切除或远端胃大部切除术是治疗胃癌的理想方法，全胃切除或食管胃切除的疗效不很满意。(2)胃-空肠吻合术组的疗效和生存率并不比探查或活检手术组为佳。(3)姑息性切除术的预后不一定很差。(4)邻近器官，如大网膜、胰腺或结肠已被侵犯者，并不排除肿瘤切除后患者长期生存的可能性。(5)位于幽门区癌肿的预后较好。(6)鉴于腹腔内转移较为多见，手术时应防止沾污腹膜。

(张廷龄摘 陈化东校)

### 13. 胃癌患者的胃液游离氨基酸

Краснобаева, Г. М.

«Клиническая Медицина» 1964, 43 (2): 46~48 (俄文)

作者应用纸上色层分析对 35 例经手术证实的胃癌、25 例其他胃疾患（胃炎、胃与十二指肠溃疡）以及 12 名健康人测定了胃液游离氨基酸。胃癌患者的性别为：男 24 例，女 11 例；年龄自 30~67 岁。

在胃癌的胃液色层分析谱上，平均测定出 13 个氨基酸斑点。在健康人和其他胃疾患病人中则测定出 8~11 个斑点。胃癌患者的斑点颜色深度亦大大超过对照组。所有胃癌患者的胃液色层分析谱上均测定出亮氨酸、缬氨酸、蛋氨酸、丙氨酸、甘氨酸、谷氨酸、组氨酸和精氨酸。在部分胃癌患者的胃液中还可测定出（依次数多少而排列）：丝氨酸、门冬酰胺。

附表：健康人与胃癌病人的胃液游离

氨基酸含量(微克/毫升)

氨基酸	正常人	胃癌患者
亮氨酸	10.5	15~153
缬氨酸	10.6	11.7~115.28
蛋氨酸	痕迹	23.84~126.16
丙氨酸	5.4	5.48~56.96
苏氨酸	痕迹	9.25~12.85
谷氨酸	3.0	5.88~32.34
甘氨酸	1.5	2.6~27.0
丝氨酸	2.0	7.56~14.7
谷酰胺	4.0	30.57
门冬酰胺酸	2.8	2.9~14.36
精氨酸	1.2	12.6~22.8
賴氨酸	4.0	10.86~21.75
组氨酸	9.0	9.08

氨酸、谷酰胺、苏氨酸、賴氨酸和脯氨酸。11 种胃液游离氨基酸定量测定结果，发现胃癌患者较正常人或其他胃疾患者要高 3~9 倍（见附表）。

关于胃癌的病程、癌肿的组织结构、分泌特征与氨基酸含量之间的关系，作者还未能加以联系起来。但作者认为胃液中游离氨基酸测定系阐明胃部疾患特点的另一种研究，亦可能有助于对胃癌的诊断。

(董国钧摘 萧树东校)

### 14. 胃癌的早期 X 线诊断

佐佐木常雄

«临床放射线» 1964, 9 (7): 520~531 (日文)

作者就胃癌的早期 X 线诊断进行详尽的讨论。

早期胃癌的定义：Borrmann 氏根据巨检形态的特征将胃癌分为四型：息肉样癌、非浸润性溃疡型癌、浸润性溃疡型癌及弥漫性浸润型癌。弥漫性浸润型癌发生于胃粘膜，沿着粘膜生长，可向粘膜下层浸润，但不及肌层以下的组织，也称浅表扩散型癌。作者认为早期胃癌应为癌浸润仅发生于粘膜，或部分侵及粘膜下层，总称粘膜癌。根据癌瘤在粘膜面的情况又可分为隆起型、凹陷型和表面型。

X 线检查方法：作者强调胃粘膜检查的重要性。在咽下一口钡剂后，以手推压胃部，逐条仔细观察胃粘膜。在仰卧位及俯卧位各摄粘膜片一张，便能分别显示胃前壁和后壁的粘膜，从而有可能检出浅在的病灶。在仰卧位检查时，抬面倾斜 20 度，头侧抬高，使钡剂均匀涂布于全部胃壁。在粘膜检查完毕后，再口服 200 毫升钡剂作充盈后的常规透视检查，至少须摄取立位、仰卧位和俯卧位片三张。在立位检查时，可按病灶所在部位按照正位象和右前斜位象。作者认为右前斜位象较佳，因癌瘤多发生于胃体小弯侧的后壁，这一投照位置易于显示病变。适当加压摄取局部点片可以发现细小病灶，必要时在局部再行连续摄影。其次在仰卧位检查，钡剂聚积于胃底贲门部，可仔细地观察该部的轮廓；胃泡空气移向幽门部，使胃角切迹至幽门部在空气对比下表现双重造影象。最后行俯卧位检查，病人采取自由式游泳姿势，此时胃蠕动最为活泼，可以观察幽门部有无通过障碍及其与邻近器官的关系。

作者指出双重造影检查很有价值，借此可详细观察胃壁轮廓和周围粘膜的情况，又能发现细小的病变。在立位时借助于胃泡内的气体可以显现良好的胃底、贲门部双重造影象；在仰卧位则可显示胃体至幽门部的双重造影象。双重造影检查最好应用少

## 146例各种疾病患者的四环素螢光試驗結果

	病人数	螢光反應			胃脫落細胞學檢查			
		陽性	陰性	可疑	陽性	陰性	可疑	失敗
<b>良性疾病：</b>								
无上消化道疾病	25	24	1		24	1		
良性上消化道疾病	15		15		11			4
良性胃潰瘍	44	2	42		36			8
惡性貧血	14	3	11		11			3
幽門管潰瘍	6		6		5			1
小計	104	5	98	1	87	1	16	
<b>惡性疾病：</b>								
胃癌								
臨床診斷	5	4	1		3	1		1
手術或病理診斷	19	7	11	1	13	4	1	1
胃平滑肌肉瘤	1		1					1
胰腺癌	4		4			4		
支氣管肺癌	10		9	1	4	5	1	
其他*	3	1	2		1	2		
小計	42	12	28	2	21	16	2	3

細胞外的四環素小分子，而不是癌細胞，因此不是真正的“陽性”。另有1例手術證明為胃良性潰瘍，亦由於伴有幽門梗阻而造成螢光試驗“陽性”。又本文未能証實未服四環素病例的胃液中可有“自身螢光”物质存在。總的來說，鑑於本文25例胃惡性病變中13例螢光試驗為假陰性，其誤診率已超過50%，故作者結論為螢光試驗並不可靠。

\* 三例其他惡性肿瘤中，一例為鼻咽淋巴上皮癌，一例為食管癌，另一例為支氣管癌侵入食管。支氣管癌侵及食管的一例四環素螢光試驗陽性。因此，胃以上鄰近器官的病變時可造成假陽性。

(韓耀華摘 陸偉壯校)

## 16. 胃黑色素瘤的X線診斷

Potchen, E. J., Khung, C. L. 和 Yatsuhashi, M.

《New Eng J Med》1964, 271 (3): 133~136 (英文)

轉移性癌腫很少在胃部發生，但黑色素瘤則常轉移於胃部；作者所在醫院1925~1963年的49例黑色素瘤尸檢病例中，11例有胃部轉移，約占20%。本文報道3例患者，X線檢查發現胃部黑色素瘤轉移，均經証實。X線檢查所發現的胃部轉移可早於其他部位，因此作者建議黑色素瘤的病例均須作上消化道檢查，以較早確定轉移情況，供臨床治療作參考。

量鋇劑，約50毫升左右，變換體位使胃粘膜充分涂布鋇劑，再經胃管注入適當量的空氣。應用藥物充氣的方法不夠滿意，因難於控制氣量，往往導致擴張過度，粘膜皺襞過度伸展而常易將病灶遺漏。

作者報道粘膜癌7例。位於在體部大弯側1例，胃角切迹3例及幽門部2例。其大小在4厘米以內，計有隆起型1例，表面型和凹陷型各3例，其X線表現可歸納為：(1)隆起型：病灶在胃腔內突出，形成不規則充盈缺損，粘膜皺襞輕度隆凸為診斷的重要征象。(2)凹陷型：顯示明顯的龕影，周圍粘膜紋行走不規則，並有中斷現象。在双重造影上局部胃壁輪廓凹入。(3)表面型：與凹陷型不同，不能見到明顯的龕影，主要表現為胃壁不整、僵直、攀縮。病灶周圍的粘膜伴有中斷、攀縮、平滑等征象。

上述的各種早期胃癌X線表現，並非為其特有的征象，也可見於其他疾患。在鑑別上有困難時可採用藥物X線功能檢查法，並輔以胃鏡檢查和細胞學檢查以協助診斷。(任樹橋摘 鄭仲校)

### 15. 四環素螢光試驗在胃癌診斷上的價值：與細胞學檢查相比較

Cummins, A. J., Compertz, M. L. 和 Kier, J. H.

《Ann Intern Med》1964, 61 (1): 56~63 (英文)

四環素螢光試驗對胃癌的診斷價值，各家意見不一。為此，作者等於進行四環素螢光試驗的同時，作胃脫落細胞學檢查，以作對比研究。

方法：對146名各種疾病的患者，每日給口服去甲基氯四環素(demethylchlortetracycline)4次，每次150毫克，共5天，以後停藥32小時，於第七天晨在禁食八小時後，按照Raskin氏法洗胃作脫落細胞檢查。抽出液按Klinger氏法處理後，以其沉淀物分別塗於Whatman №3濾紙上作螢光試驗和載玻片上作細胞學檢查。其中85例並同時收集其唾液標本作螢光試驗，以了解唾液螢光反應持續的時間。此外，又對25例未服用任何四環素類藥物的病人的胃液標本進行螢光試驗以作對照。

結果：見附表。85例唾液檢查中，無一例螢光試驗陽性，說明唾液中四環素的分泌在停藥後32小時已告終止。25例未服四環素者的胃液螢光試驗亦均为陰性，其中1例脫落細胞學檢查証實患胃癌。

作者在討論中指出。在本文螢光試驗陽性的胃癌病例中，有4例是由於伴有胃滯留，其螢光物質為

胃部黑色素瘤轉移的X線特征性表现为：呈边缘光滑的盘形或息肉样的充盈缺损，常为多发性，但亦可单发。转移肿瘤的中心常有溃疡，因此在圆形的缺损区中，可见密度增深的龛影，这就形成了特殊的现象，即所謂“牛眼状”或“枪靶征”。单发的转移病灶有时与有些病变不易区别，如 Kaposi 氏肉瘤、迷走胰腺、淋巴瘤等，但黑色素瘤原发病灶的存在有助于黑色素瘤转移的診断。（魏敦和摘 錢本余校）

## 17. 一种治疗胃出血經濟有效的 胃降温装置

Henderson, R. D. 和 McPhedran, N. T.

«Canad Med Ass J»

1964, 90 (23): 1293~1294 (英文)

本文介紹一种简单而安全的胃降温装置，价廉，适用于一般病室，并可自己制造。

作者改良了 Wangensteen 氏 (1959) 的装置，用长約 4 呎的塑料同心双腔管，内管(流入管)在距外管近侧端約 10 厘米处通入，其远端約伸出外管 1 厘米。外管(流出管)远端开数个直径約 3 毫米的孔洞，以利液体回流。另以一細塑料管插入外管内

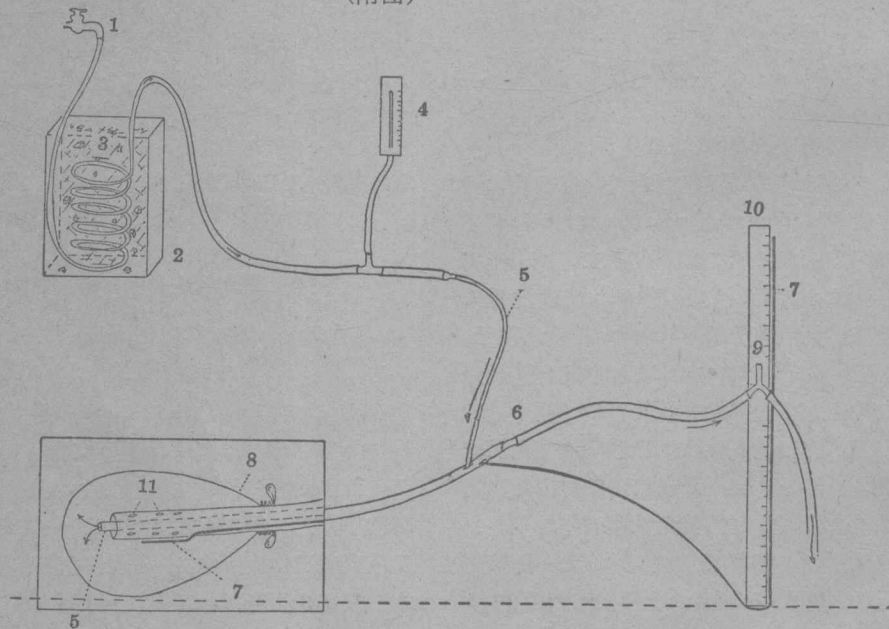
作为测压管，此管中的水平面，反映胃囊內压力。以阴茎套作胃囊(如图)。外管的內径为 8.0 毫米，外径为 9.0 毫米。内管內径 3.0 毫米，外径 4.0 毫米。测压管內径 0.8 毫米，外径 1.1 毫米。

利用自来水，使水流通过一组盘曲在冰桶内长 20 呎的橡皮管来进行降温。在流入管側接一血压計以测水压。流出管需粗大，且不宜过长，以减少阻力，使水流通畅。流出管端接一“Y”形玻璃接头，调节此接头的高低来控制胃囊內的压力及容量，此“Y”接头同时又起了活瓣作用，当流出管压力过高时，则液体可自动溢出。

开始时，“Y”接头与胃后壁同一高度，而测压管縛在一零点与胃后壁同高的碼尺上，将流入管接在自来水龙头上，慢慢开放水龙头，直至流入管內压力(血压計上压力)約为 100 毫米汞柱为止，待液体循环建立稳定后，再慢慢抬高“Y”接头，直至测压管內水柱达 25~35 厘米高度間为止。实验显示这种压力是胃囊內最适当的压力。

本法对胃的降温作用迅速。作者等治疗了 8 例出血病人，7 例止血。治疗前应将胃內血块清除，并可在胃內留置一十二指肠管，以便及时发现新的出血或胃囊破裂。

(附图)



說明：①自来水龙头 ②冰桶 ③橡皮管 ④血压計測压表 ⑤流入管 ⑥流出管 ⑦測压管 ⑧胃囊  
⑨“Y”形玻璃接头 ⑩碼尺 ⑪流出管孔

(李 石摘 張國治校)

## 18. 胃冰冻术后的胃酸反跃

Sutherland, R. D., Bitter, J. E. 和  
Hitchcock, C. R.

《Arch Surg》1964, 89 (1): 208~213 (英文)

作者曾对 173 例十二指肠溃疡患者进行胃冰冻术治疗。降温时间为 50 分钟，流入温为  $-18^{\circ}\text{C}$ ，流出温为  $-11^{\circ}\text{C}$ 。于冰冻术前及术后 24 小时内、6 周、3 月、6 月和 1 年，作 1 小时基础胃液分析、胰岛素刺激试验和蛋白酶刺激试验以测定其胃液分泌功能。

在第一次冰冻术后，所有病例的疼痛均迅速消失，术后 6 周时，69.8% 无症状，30.2% 症状复发；术后 3 月 58.8% 无症状，41.2% 症状复发；术后 6 月 34.7% 无症状，65.3% 症状复发。56 例术前基础胃液中的盐酸平均值为 6.0 毫克当量/小时，术后降至 4.6 毫克当量/小时，但以后又复明显上升。胰岛素刺激试验显示，冰冻术后胃酸分泌量明显降低，但术后 6 周即上升到接近术前水平，术后 3 月、6 月时则高于术前水平。蛋白酶刺激试验显示，术后胃酸分泌量明显降低，但在以后的测定中则均高于术前水平。

49 例症状复发者曾进行第 2 次胃冰冻术，术后症状又迅速消失，但术后 6~12 周中有 55.3% 病例症状复发，术后 12~36 周有 78.9% 病例症状复发。基础胃液中的盐酸值以及胰岛素刺激试验和蛋白酶刺激试验后的胃酸分泌，冰冻后 24 小时均有显著降低，但其后又迅速回升。

本文 173 例 222 次胃冰冻术共发生并发症 20 次。其中有 1 例在术后 6 周发生胰腺炎；2 例术后立即、1 例术后数周、1 例术后 5 月并发胃溃疡。在术后 5 月并发胃穿孔的一例死亡。18 例出现梗阻症状或顽固性疼痛加剧而手术。

作者认为胃冰冻术并不能对胃粘膜的壁细胞产生满意的选择性和永久性的抑制作用，且在术后随访中胃酸分泌量常超过术前水平，故仅有短暂的效果。至于术后胃酸分泌量的过度回升，可能是由于胃冰冻术刺激了胃窦相和头相的胃酸分泌机制之故。作者同时指出，胃冰冻术对疼痛症状的缓解也仅有暂时的效果。

(蔡成机摘 孟承伟校)

## 19. 胃冰冻术后的生理改变

Karacadag, S. 和 Klotz, A. P.  
《Amer J Dig Dis》1964, 9 (5):  
319~327 (英文)

作者等曾对 120 例 X 线证实的十二指肠溃疡患者施行胃冰冻疗法。冰冻时间为 45 分钟，流入温为  $-17^{\circ}\text{C}$ ，流出温为  $-10^{\circ}\text{C}$ ，胃粘膜实际温度则在  $0^{\circ}\text{C}$  以上。本文报道胃冰冻术对胃分泌功能的影响。

结果：(1) 夜间 12 小时胃液分泌：冰冻后 24 小时，胃液量及游离盐酸降低，但 3 个月后恢复至冰冻前水平。(2) 加强组织胺试验：冰冻后 24 小时，胃液量及游离盐酸均降低，但 3 周后即回复至冰冻前水平。(3) Histalog 胃液分析：结果与组织胺试验者同。(4) 胰岛素试验：冰冻后 24 小时，胃液量及酸度均明显降低，但 3 周内即恢复至冰冻前水平。(5)  $\text{I}^{131}$  标志聚乙烯吡咯烷酮(P.V.P.)试验：静脉注射 25 微居里  $\text{I}^{131}$  标志 P.V.P. 后，15 例患者的胃液标本内未发现有同位素存在。(6) 电解质测定：组织胺试验显示，冰冻后即刻钠离子与氯离子轻度增高，但在 3 周后均回复至冰冻前水平。(7) 胃蛋白酶：冰冻后 12 小时，夜间 12 小时胃液显示胃蛋白酶分泌增多，冰冻后 24 小时的分泌中也增加，但冰冻后 24 小时及 3 周后的组织胺试验胃液标本示蛋白酶较冰冻前降低。(8) 电泳分析显示胃液粘蛋白无显著改变。(9) 冰冻前及冰冻后 24 小时、1 周、3 周、3 个月及 6 个月所采取的 200 份胃粘膜活组织标本均未发现由冰冻所引起的任何改变，也无神经损害的组织学证据；胃镜检查仅见胃粘膜有轻度改变。

上述结果显示，胃冰冻术所引起的各项变化与迷走神经切断者相似。又根据 Fisher 及 Hunt 二氏的概念，用 Thompson 和 Vane 二氏的公式计算加强组织胺刺激后胃液中壁层部分与非壁层部分的量，显示胃冰冻术后 24 小时，壁层部分平均自 66 毫升/30 分降至 42 毫升/30 分，非壁层部分则无改变，与迷走神经切断后相仿。本文各项试验的结果显示，胃冰冻术后的变化是暂时的，临床随访也表明症状的改变是暂时的。在 80 例随访的患者中，冰冻后 3 周 36% 症状完全消失，26% 进步，38% 无效，但术后 6 个月时失效率高达 70%。神经纤维受冷后可产生类似迷走神经切断后的改变，它也包括交感神经纤维，于是疼痛冲动的传导受阻，从而减轻了腹痛的感觉，这可解释少数患者症状改善而胃酸并无降低。由于 P.V.P. 试验正常，胃粘膜活组织

检查与胃镜检查均无显著改变，提示胃酸降低是暂时性部分迷走神經切断术后的結果。但如局部加压太甚及温度过低，则也可导致胃粘膜损伤。

(夏德全摘 孙曾一校)

## 20. 胃冰冻术对維生素 B<sub>12</sub> 的吸收、胃酸分泌、組織形态及血清酶活力的影响

Hubel, K. A., Faber, L., Kent, T. H.,

Clifton, J. A. 和 Mason, E. E.

《Amer J Dig Dis》1964, 9 (5):

328~336 (英文)

本文旨在观察胃冰冻术所引起的壁細胞和粘膜神經损伤对胃液分泌和內因子利用的影响以及組織冰冻损伤所致的生化与形态的改变。

方法：13例X綫証实的慢性十二指肠潰瘍患者，按 Peter 氏法进行胃冰冻治疗，流入温为-17°~-19°C，流出温为-11°~-15°C，最低温度約維持50分钟，各例均經過15分钟的“融解期”后取出气囊。

結果：(1) 9例患者胃冰冻术后胃的病理改变基本相同，但程度不等。最輕的改变为胃腺体輕度扩张，主細胞及壁細胞染色浅淡；最显著者胃頸部与胃小凹部的固有层有中度多形核白細胞浸潤，胃小凹增生，表层細胞中粘液肉芽增多；未见坏死。电子显微鏡与普通显微鏡所见相符合，主細胞与壁細胞保持完整，但散在的壁細胞示有綫粒体肿胀及染色质会聚。(2) 6例冰冻前的血清淀粉酶值已增高，冰冻后除1例外，血清淀粉酶下降或不变。(3)冰冻后血清谷-草轉氨酶值略增高，但未超出正常范围；血清亮氨酸胺肽酶无明显改变。(4)最大組織胺反应：14次試驗中4次降至冰冻前的60%以下，6次在60%~100%之間，4次超过冰冻前水平。(5)最大胰島素反应：11次試驗中5次低于冰冻前的60%以下，4次在60%~100%之間，2次超过冰冻前水平。(6) 24 小时尿 Co<sup>60</sup>-維生素 B<sub>12</sub> 排泄量：冰冻前平均为口服剂量的30%，冰冻后为40%。

本文病例因所采活組織标本較浅薄，故未能见到內在神經丛的变化。冰冻后淀粉酶、亮氨酸胺肽酶及谷-草轉氨酶等均在正常范围内，說明肝、胰等并无广泛损伤。冰冻后尿液維生素 B<sub>12</sub> 排泄的增加，作者认为可能系由于二次試驗的間隔仅3天，系因上次試驗的殘余維生素 B<sub>12</sub> 的繼續排泄所致。

鉴于在本文病例中，除1例外，其最大胰島素反

应的抑制均較最大組織胺反应的抑制为明显，因此认为胃冰冻术后胃酸的降低可能由于迷走神經损伤之故。

(夏德全摘 孙曾一校)

## 21. 胃手术后的胃鏡和胃活体組織检查

Krentz, K.

《Deutsch Med Wschr》1964, 89 (14):

664~671 (德文)

胃部手术后，常出现許多病变，而以手术后胃炎最为多见。临床表现有恶心、呕吐、明显消瘦及食后痙攣性胃痛等。其原因部分是十二指肠与空肠液回流，部分是幽門竇切除后，促胃液素缺乏，引起胃体腺組織萎縮。作者对100例胃术后患者进行了活組織检查，分2組观察，結果如下：

(1) 仅在手术后作活体組織检查者：42例，其中2例分別于24及47年以前行胃肠吻合术，现因空肠潰瘍住院，活检发现重度浅表性胃炎，尚有胃酸分泌。其他40例均是 Billroth 氏Ⅱ式手术以后。手术原因計有十二指肠潰瘍25例，胃潰瘍7例，胃癌5例，胃十二指肠潰瘍2例，癌性胃潰瘍1例。40例活检发现：明显萎縮性胃炎23例，浅表性与萎縮性胃炎6例，浅表性胃炎5例，局灶性浅表性胃炎及滤泡性淋巴网状細胞性反应各1例，正常粘膜4例（均属十二指肠潰瘍患者）。胃潰瘍手术后无1例粘膜正常，以萎縮性胃炎为主；胃癌手术者全部出现萎縮性胃炎。边缘性潰瘍仅见于胃空肠吻合或十二指肠潰瘍行 Billroth 氏Ⅱ式手术者。

从患者年龄来看，60岁以上虽有个別尙发现正常粘膜，但萎縮性胃炎占大多数。即使十二指肠潰瘍患者，手术后10年亦已无正常粘膜，可见从正常粘膜发展为浅表性胃炎，或从严重浅表性胃炎发展为萎縮性胃炎，常在手术后10年之間。

(2) 手术前后作活体組織对比检查者：58例，計有十二指肠潰瘍18例，胃潰瘍13例，胃十二指肠潰瘍2例，恶性肿瘤20例，良性肿瘤4例，不明原因手术者1例。因恶性肿瘤已行全胃切除或死亡而未予活检复查者共8例。

50例对比检查中，18例（作者誤作15例——譯者注）十二指肠潰瘍术前检查有9例粘膜正常，1~5年后复查时仅6例正常；3例术前呈輕度浅表性胃炎，术后发展为广泛性浅表性胃炎；萎縮性胃炎术前仅1例，术后3例。胃潰瘍与胃癌患者术前常有萎縮性病变，手术后更有增加。

作者认为，虽然复查时间在5年之內，但也可看

出，胃粘膜細胞浸潤已有發展，腺組織逐漸萎縮，在活檢中可以看到漸進性壞死及胃小凹內有脫落細胞等。這種變化，與年齡无关。作者並就 30 例進行粘膜厚度測定，發現整個粘膜厚度雖然並不減薄，但腺體層變薄。

(陳煥章摘 張振球校)

## 22. 幽門狹窄時的代謝性鎓中毒

Clark, R. G. 和 Norman, J. N.

《Lancet》1964, 1 (7345): 1244~1245 (英文)

本文報道 13 例幽門狹窄患者的代謝性鎓中毒研究結果。輕度鎓中毒者 3 例 (標準重碳酸鹽為 24~27 毫克當量/升)，中度鎓中毒者 8 例 (標準重碳酸鹽 28~39 毫克當量/升)，重度鎓中毒者 2 例 (標準重碳酸鹽大於 40 毫克當量/升)。13 例的血 pH 值為 7.38~7.59，其中 5 例屬正常範圍內。呼吸性代償引致  $\text{PCO}_2$  增高達 42~67 毫米汞柱 (僅 4 例低於 45 毫米汞柱)。標準重碳酸鹽值介乎 24.5~52.0 毫克當量/升之間，鎓過剩的數值在 +2.3 和 +25 毫克當量/升。血清鈉在 136~157 毫克當量/升之間，血清鉀在 2.8~4.6 毫克當量/升之間，血清氯化物則為 30~100 毫克當量/升。

幽門狹窄時隨着鹽酸的持續喪失，重碳酸鹽在體內積滯。在疾病的早期，這種鎓中毒傾向可被代償性的肺泡換氣減低所致的輕度  $\text{PCO}_2$  增高以及從腎臟排出較多的重碳酸鈉所糾正，機體得以維持正常的 pH 值。因之第一期 (輕度) 幽門狹窄的代謝性鎓中毒是代償的，其時血漿重碳酸鹽增高， $\text{PCO}_2$  輕度增高，尿呈鹼性，臨牀上無代謝障礙的表現。其後，由於大量的鈉從嘔吐物中以及與重碳酸鹽結合而從尿排出體外，造成機體脫水，腎臟亦轉而瀦鈉。

此時腎臟對鎓中毒的代償能力遭到破壞，因為鈉的保存限制了重碳酸鹽的排出，故尿的鹼性亦變低，臨牀開始出現症狀。鉀的喪失，除了從嘔吐物中不斷損失外，且由於鈉在腎小管中被鉀和氫離子交換而更形增加，造成低血鉀症和酸性尿。為維持細胞外液鉀離子濃度，細胞內鉀離子向外移動，細胞外液的鈉離子與氫離子則向細胞內移動。這更加劇了細胞外的鎓中毒並造成細胞內酸中毒。於是構成第二期 (中度) 幽門狹窄，具有 pH 值、標準重碳酸鹽和  $\text{PCO}_2$  增高的代謝性鎓中毒，此外尚有低血鉀症與酸性尿，臨牀除脫水外，並出現代謝紊亂的症狀如軟弱无力，易于激怒與思維能力降低。幽門狹窄第三期 (重度) 是第二期的加劇，出現嚴重脫水、明顯的鎓中毒、嚴重的缺鉀與低血氯症以及顯著的體重減輕。鎓中毒引起游離鈣減少，因而可能有手足搐搦。代謝障礙在第一期極為輕微，不需要替代治療即可手術。第二期病人在手術前晚要補充液體和電解質，尤其是鉀鹽，以使手術得以安全進行。若手術前未予液體和電解質，手術創傷性反應可導致嚴重的鎓中毒，第三期病人不适合立即手術，由於嚴重脫水和極度鎓中毒，應在手術前作 48 小時或更長一些時間的大力治療。

雖然在大多病例中有低血鉀和低血氯症，但兩者的程度與鎓中毒的嚴重程度關係不明顯，因為脫水會增加血鉀和氯的濃度而補液則可引起相反的作用。作者認為在反映鎓中毒的代謝障礙方面，血漿重碳酸鹽和鎓過剩的數值較血清電解質的變化更為可靠。至於對代謝性鎓中毒的呼吸代償機制方面，作者指出即使在最嚴重的病例中，這一代償機制使 pH 值不超過 7.59。 (胡其燕摘 侯积寿校)

## 潰 痘 病

### 23. 十二指腸潰瘍病的遺傳因素問題： 血清胃蛋白酶元濃度與 ABO 血型及唾 液中 ABH 物質間的關係

Hanley, W. B.

《Brit Med J》1964, 1 (5388):

936~940 (英文)

Doll 与 Kellock 二氏証實十二指腸潰瘍病與兩種血型物質——ABO 血型物質及唾液中 ABH 物質——的分泌狀態的遺傳因素有關。Sievers 氏發

現 O 型者的胃液中游離酸及血清中胃蛋白酶元濃度均比 A 型者為高。乃發生 O 型者是否比其他 ABO 型者有更多數量的胃分泌細胞的問題，本文測定 18~35 歲的 O 型及 A 型、唾液中分泌與不分泌 ABH 物質的男、女健康人 (共 8 組，每組 100 人) 的血清胃蛋白酶元含量，研究十二指腸潰瘍病人的血型與唾液中含 ABH 物質與否的遺傳因素關係。血清胃蛋白酶元的測定系採用 Hanley 氏改良的 Sievers 與 Fischer 二氏法。每一標本重複測定二次。結果：(1) 血清胃蛋白酶元量男性顯著比女性高 ( $P < 10^{-6}$ )；

(2) O型者明显地比A型者高( $P < 0.001$ )；(3)唾液中不分泌ABH物质者并不比分泌ABH物质者显著高( $P < 0.2$ )。

若血清胃蛋白酶元含量确能反映胃壁的分泌細胞数量，则本文的結果証明男女性别的基因与ABO血型的基因对胃壁分泌細胞的生长有一定影响，男性胃分泌細胞比女性多，O型者更多；但O型主要影响男性，其对女性的影响并无統計学意义。这些結果与文献报告者相同，与Cox氏报告的男性胃壁平均細胞数为10亿9千万，女性为8亿2千万的情况相符。

有认为女性在生育期，尤其在妊娠期少发生十二指肠潰疡病是与女性內分泌有关，由于十二指肠潰疡患者的胃分泌細细胞数量較多，提示女性所以少罹十二指肠潰疡病是与女性胃壁分泌細细胞数量较少有关。鉴于不同血型对女性的影响不及男性，提示O型血型者所可能具有刺激胃分泌細细胞生长的物质，能被女性內分泌素所抑制。鉴于边缘性潰疡与O型的关系較十二指肠潰疡更为明显，指示可能系O型基因型者有一种刺激胃壁分泌細细胞生长的物质，而非由于A型基因型者有一种抑制性物质。

O型与A型者的基本差別，按Race与Sanger二氏报告(见下表)在于决定血型物质的质与量的不同。但在唾液中不分泌ABH物质者，各种血型物质(如A,H,Le<sup>a</sup>,Le<sup>b</sup>)的粘多糖体并不因属A型或O型而有差別，认为血型对胃粘膜的影响系通过机体而非通过胃腔。血型物质影响胃分泌細细胞数量的机制与H血型物质有关。不論唾液中分泌ABH与否，組織中酒溶性H物质的浓度在O型者較A型者为高，因此可以认为系因此种酒溶性H物质通过細胞內的生化作用而刺激胃分泌細细胞生长。

#### O型及A型者的唾液中各种血型抗元(A, H, Le<sup>a</sup> 及 Le<sup>b</sup>)的浓度

血型	唾液中分 泌 ABH 与否	血型粘多糖体物质			
		A	H	Le <sup>a</sup>	Le <sup>b</sup>
O	分 泌	-	+++	+	++
A	分 泌	+++	(+)	+	++
O	不 分 泌	-	(+)	++++	-
A	不 分 泌	(+)	(+)	++++	-

至于ABH不分泌者为何十二指肠潰疡病发生率較高，其机制仍未明了。

(张国治摘 陈思聪校)

## 24. 儿童十二指肠球部潰疡

Berman, V.

《Clin Radiol》1964, 15 (3):

267~270 (英文)

儿童患十二指肠球部潰疡者并不少见，本文旨在說明儿童十二指肠潰疡的发病率，并闡述其X線診斷要点。

作者分析所在儿童医院1952年以来在483例临床疑有潰疡病的病例中发现有十二指肠球部潰疡龕影的46例。患儿年龄为4~13岁；男28例(占61%)，女18例(占39%)；龕影在球后壁者24例(52%)，在其它部分者22例(48%)。24例球后壁龕影中16例位在球部中心附近，8例靠近球尖部。虽然龕影为十二指肠球部潰疡的直接征象，但鉴于很表浅的龕影有被遗漏的可能，因此间接征象在診斷上也有参考价值。间接征象有5种：(1)空腹时胃分泌增加；(2)球部惹激、鎮剂快速通过现象；(3)球部压痛；(4)初期的幽门痙攣；(5)球部痙攣。以前三種为最常见。在本組中只有潰疡龕影而不伴有任何間接征象者10例(占22%)。伴有一种間接征象者11例(占24%)，其中6例为分泌增多，3例球部有惹激征象，2例球部有压痛。伴有二种間接征象者15例(占33%)，其中8例有球部惹激和压痛，4例空腹时胃分泌液增加并有球部压痛，3例空腹时胃分泌液增加伴球部惹激。同时伴有三种間接征象者10例(占22%)。根据以上发现，55%的阳性病例合并有二种或三种最常见的間接征象，因而作者認為在未发现球部龕影的病例中，如有二种或二种以上的常见間接征象出现，则有球部潰疡可疑。为此，在对儿童进行胃肠道鎮餐检查时，應該細心地从各个角度寻找球部龕影，并应观察有无上述間接征象。

(顾 瑞摘 荣独山校)

## 25. 从切除标本来評價胃潰疡 X線診 斷的价值：有关胃潰疡的恶性表现

菊地良郎

《临床放射學》1964, 9 (7): 533~546 (日文)

胃癌強調早期診斷，因而早期胃癌或所謂粘膜癌的X線所見以及潰瘍恶变的X線鉴别診斷极为重要。早期胃癌的X線所見据1962年日本全国573例的統計，为：(1)粘膜紋中断(62.0%)；(2)边缘僵直(51.8%)；(3)粘膜紋走行异常(21.5%)；(4)凹入(20.2%)；(5)边缘不規則(16.4%)；(6)幽门前区变